

메추리(*Coturnix coturnix*)의 精子 發生에 관한 研究

金載弘・朴泳碩*

全南大學校 農科大學・獸醫科大學*

(1989. 6. 5 接受)

Studies on Spermatogenesis in Japanese Quail (*Coturnix coturnix japonica*)

Jae-Hong Kim and Young-Seok Park*

College of Agriculture and Veterinary Medicine* Chonnam National University

(Received June 5, 1989)

SUMMARY

This study was conducted to observe 1) the changes of cellular association in seminiferous tubules from 2 to 8 weeks of age, and 2) the cycle phenomena of seminiferous epithelia at 14 weeks of age in Japanese quail. Total 80 birds were examined at a week interval from 2 to 8 weeks, and 14 weeks of age. The results were summarized as follows;

1) The body and testis weights showed most prominent increase during 4 to 5 weeks and 6 to 8 weeks of age respectively. And also the diameters of seminiferous tubules were abruptly enlarged during 6 to 8 weeks of age.

2) Genocytes in the seminiferous tubules were still in existence at 3 weeks of age, however they did not come out after 4 weeks of age. Spermatogonia, primary spermatocytes and spermatids made their first appearances in the seminiferous from 3, 4 and 6 weeks of age, respectively. Spermatozoa were observed for the first time at 7 weeks of age, but full spermatogenic activity was completed from 8 weeks of age.

3) At 14 weeks of age, the average weight at testis was 3.7g and its ratio to the body weight was approximately 3.0 percent. And at this age, average diameter of seminiferous tubules was 192.08 μm , and average numbers of spermatogonia, spermatocytes, spermatids and spermatozoa within the cross section of seminiferous tubules were 7.74, 40.81, 28.42, 104.55 and 105.98, respectively. Spermatogonia and spermatid were classified into 2 and 3 types, respectively.

4) At 14 weeks of age, the cycle of seminiferous epithelium could be divided into 5 stages with following characteristics.

“本研究는 全南大學校 學術研究費의 支援으로 이루어졌음”

- (1) Stage I : Seminiferous tubules showing type I and II spermatids.
- (2) Stage II : Seminiferous tubules showing type III spermatids only.
- (3) Stage III : Immature spermatozoa gathered near the sertoli cytoplasm.
- (4) Stage IV : Forming a bundle of 15-20 spermatozoa.
- (5) Stage V : Spermatozoa bundle leaving the sertoli cytoplasm into lumen of the seminiferous tubule.

S) Usually 2-3 stages of the seminiferous epithelium cycle were concurrently appeared within a tubular cross section, and frequency of each stage from I to V within cross section of seminiferous tubules were 11.97%, 27.03%, 27.96%, 19.04% and 17.98%, respectively.

I. 緒論

메추리의 飼育歷史는 他家禽에 비해 오래지 않다. 따라서 이에 관한 研究는 많지 않으며, 특히 솟컷의 繁殖活動에 관해선 알려진 바가 적다. 그래서 本研究는 메추리 솟컷의 繁殖現象 考察의 일환으로 成長에 따른 精巢의 細精管內 精細胞系構成의 變化象과 成熟後의 精子發生過程을 組織學的 側面에서 살펴보자 한 것이다.

精子의 發生段階는 動物種에 따라서 다르며, 같은 種에서도 研究者에 따라 見解差가 있는것 같다(Hafetz : 1980). 특히 細精管의 上反週期가 그러한데 하나의 週期內에 명확히 구분되는 生殖細胞集團 即 A型의 精祖細胞로 부터 精子에 이르는 進化段階(cycle stage)를 Ortavant (1959), Amann(1962), Swierstra 와 Foote (1963) 및 Swierstra (1968) 等은 각각 쥐, 細羊, 雜交 및 소에서 共히 8期로 記述하고 있는데 反하여 Leblond 와 Clermont (1952)는 쥐에서 14期, Clermont (1963)는 사람에서 6期, Berndtson 와 Ciaude (1974)는 소에서 12期가 區分됨을 報告하고 있다. 鳥類에 관해서도 닭과 오리를 중심으로 哺乳家畜에서와 같은 研究들이 一部 進行되어 細精管內에 各種 生殖細胞들의 生理週期等이 알려져 있고(Sturkie : 1976, 韓 : 1984), 第一精母細胞가 成熟精子로 될 때까지의 時間과 成熟精子가 精巢上體와 精管을 통과하는 時間까지 알려져 있다(Takeda : 1969).

메추리의 경우는 Wilson 等(1959), Mather 와 Wilson (1964), Purcell 및 Wilson (1975)에 의해 性成熟時까지의 精巢發達에 관해 調查되었고, Jones 와 Jackson (1973)은 myleran과 Cyclohexane (anti-

spermatogonial chemicals)을 사용해 精祖細胞로부터 完成精子가 될 때까지의 期間이 約 25日임을 밝힌 바 있다.

本研究는 메추리의 成長에 따른 細精管內 精細胞系의 分化現象을 週齡別로 調査함과 아울러 性成熟期에 細精管의 上皮週期에 관한 細胞組織學의 特徵을 규명해 未盡한 이 分野의 學門에 一助코자 한 것이다.

II. 材料 및 方法

1. 供試材料

供試用 메추리(*Coturnix coturnix japonica*)는 光州近郊에 있는 호천부화장에서 1988年 7月 23日에 解化된 2週齡의 솟컷 100首를 購入, 飼育하면서 필요시 無作爲抽出해 사용하였다. 飼育은 케이지에서 하였고 飼料는 肉鶏用 前期飼料를 無制限 급여했으며 其他 管理는 常行에 따랐다.

2週齡부터 8週齡까지 每週 10首씩 抽出해 成長中 精巢의 變化過程을 관찰하였고, 完全 成熟期인 14週齡에도 無作爲로 10首를 抽出해 諸般事項을 調査하였다. 抽出된 個體는 體重을 秤量한 뒤 바로 屠殺해 精巢를 摘出하였고, 摘出된 精巢는 重量과 型(shape)을 計測한 뒤 바로 固定하였다.

2. 組織標本의 製作

精巢組織의 固定은 中性 formalin 10%液와 Zenker液에 각각 24時間과 12時間하였으며, 固定된 組織은 paraffin에 包埋後 5μm 厚度로 導切하여 連續切片을 만들었다. formalin液에 固定한 組織은 Mayer's hematoxylin - eosin 染色을 하여 一般組織觀察

에 사용하였고, 核의 微細構造觀察에는 Zenker液에 固定한 組織을 Heidenhein's iron hematoxylin染色을 하였으며, 精子細胞의 觀察에는 PAS-hematoxylin染色을 하였다.

3. 調査項目과 方法

1) 精巢의 크기와 型指數

體重은 g, 精巢重量은 mg까지 自動天秤으로 秤量하였고, 精巢의 길이와 幅은 Vernier caliper로 計測하였다. 左右各各 秤量된 重量을 合해 精巢의 크기로 하였고 精巢의 型指數는 14週齡의 것에서만 調査하였는데 길이에 대한 幅의 比率($\frac{\text{精巢幅}}{\text{精巢길이}} \times 100$)로 표시했다. 길이와 폭은 각각 最長인 거리를 测定하였다.

2) 細精管의 크기

細精管의 管徑은 micrometer를 사용하여 600倍로 测定하였으며, 円型에 가까운 20個씩을 取して 测定·平均한 것이다.

3) 細胞의 觀察

細精管內 各種細胞의 分類는 Kumaran과 Turner(1949), Parker(1941) 및 Newcomer와 Brant(1954)等이 記述한 細胞들의 形態를 기준으로 하였으며 核數의 計測은 Olympus製 eyepiece reticle 100等分을 사용하여 1,500倍率로 調査하고, 細精管에서 計測된 各種細胞數는 Abercrombie(1946)의 microtome切片內 核數 計算法으로 교정하여 표시하였다.

4) 細精管 上皮週期

細精管의 上皮週期內 各期의 分類基準은 Roosen-Runge(1950)와 Leblond 및 Clermont(1952)가 哺乳動物에서 分類했던 基準을 參考로 하였다. 細精管의 上皮週期內 各期의 出現頻度는 各個體의 精巢組織에서 50개씩 총 500개의 細精管을 관찰하여 계산하였다.

III. 結果 및 考察

1. 體重 및 精巢의 크기와 型指數

다음 그림 1-1은 各週齡別 體重과 精巢의 크기이다. 먼저 2週齡부터 8週齡까지 各週齡의 體重을 보면 36.9, 52.4, 70.2, 90.2, 102.1, 111.8 및 118.0 g로 週當增體量이 5週齡까지는 점차增加하고 있으나 그以後는 급격히 減少되어 가고 있고, 8週齡 이후는 증체가 거의 정체되어 14週齡까지 6週間에

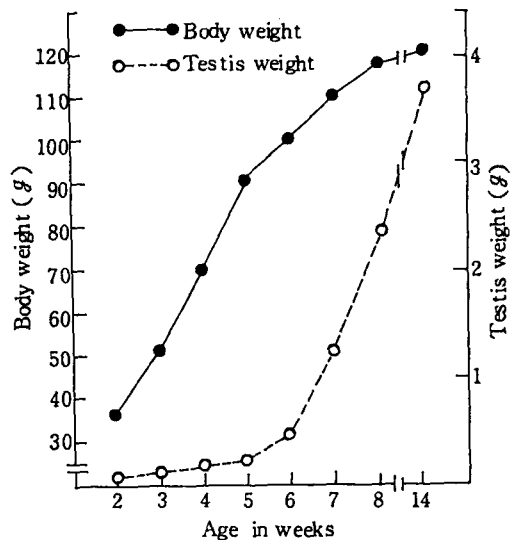


Fig. 1-1. Average body(g) and testis(g) weight of Japanese quail at each weeks of age

4.3g의 增體가 있었을 뿐이다. 即 體重은 8週齡에 거의 完成되었음을 보여주고 있다. Williams(1976)에 의하면 成長完了時 日本에우리 鷄의 體重은 100~130g이 표준이고 性成熟時期는 6~8週齡으로 되어있다. 이것으로 미루어 보아 本供試에우리의 成長은 正常의 成長으로 판단된다.

그림 1-1에서 2週齡부터 8週齡까지 차례대로 各週齡의 精巢重量을 보면 0.03, 0.06, 0.10, 0.17, 0.46, 1.21 및 2.40g로 初期에는 极히 완만하게 증가하나 週當增體量이 減少되기 시작한 5週齡부터 갑자기 커지고 있으며 體重增加와는 달리 8週齡以後에도 계속 증가해 14週齡에는 3.70g에 달하고 있다. 이같은 결과를 既存報告들과 比較할 때 2, 3週齡의重量은 별다른 差異가 없으나 4, 5, 6週齡의 重量이 현저히 작다. Mather와 Wilson(1964)의 報告에서 4, 5, 6週齡의 精巢重量을 보면 각각 0.267, 0.869 및 1.111g로 本試驗에서의 調査値들보다 현저히 클뿐 아니라 갑자기 增加되는 時期도 4週齡부터이다. 本試驗에서 精巢成長이 遲滯된 것은 育成期間이 酷暑期인 7月23日부터 9月4日까지였던 것을 감안할 때 季節的 영향으로 생각된다. 外氣溫이 30°C以上으로 상승함에 따라서 털과 오리의 경우 造精機能이 위축되고(李: 1982), 特히 七面鳥의 경우는 늦은 여름

Table 1. Body weights, testis weights and testis shape indexes of 14-week old Japanese quail

Individual No.	Body wt. (%)	Testis weight (g)			Shape Index*		
		Left	Right	Total	%	Left	Right
1	117.5	2.0	1.9	3.9	3.3	65.0	65.5
2	119.0	2.1	1.6	3.7	3.1	63.5	60.5
3	112.4	2.6	2.1	4.7	3.9	89.5	75.0
4	110.9	1.3	1.7	3.0	2.7	70.6	65.0
5	127.3	2.4	2.6	5.0	3.9	73.7	54.2
6	125.2	2.0	1.8	3.8	3.0	70.0	59.1
7	116.2	1.4	1.7	3.1	2.7	76.5	57.1
8	121.0	1.2	1.1	3.3	2.7	81.3	63.2
9	127.5	1.6	1.6	3.2	2.5	87.5	65.0
10	141.3	2.1	2.0	4.1	2.9	72.2	48.0
AV.	122.75	1.87	1.81	3.78	3.07	74.99 ¹	61.21 ²

% : (Total testis weight / body weight) × 100

* : (Testis width / testis length) × 100

1, 2 : Difference between the two mean is significant ($P < 0.05$).

부터 가을에 걸쳐 受精能力이 상실되거나 完全 無精液狀態가 된은 이미 잘 알려진 사항이다. 遲滯된 精巢成長은 7週齡부터 회복되기 시작해 8週齡에서 거의 補償되었고, 그 후로도 계속 성장되어 14週齡時重量은 3.78 g로 오히려 既存 報告值들보다 크다.

Purcell과 Wilson(1975)이 32日齡과 4個月齡에 調査한 精巢의 크기는 0.565 g와 2.815 g으로 되어 있다.

다음 表 1은 14週齡時에 調査된 各個體의 體重과 精巢重量 및 精巢의 型指數(shape index)이다. 左右의 精巢重量間에는 差異가 없고, 體重에 대한 精巢重量의 比率은 3.07 %가 되는데 犀의 경우 1% 内外인 점을 감안하면(Parker 等: 1941) 대단히 크다.

精巢의 型은 豆型인데 左側의 것이 右側것에 비해 幅이 넓어 型指數는 有意差를 보인다($P < 0.05$). 이같은 精巢型의 左右 非對稱現象이 麥추리의 固有特徵인지는 더 確認해야 할 사항이다.

2. 細精管의 크기

그림 1-2에서 細精管의 平均管徑을 2週齡부터 8週齡까지 各週齡별로 보면 28 μm, 56 μm, 87 μm, 97 μm, 109 μm, 144 μm 및 189 μm로 既存 報告와 比較할때 4週齡부터 현저히 작다. Mather 와 Wilson

(1964)의 報告를 보면 2, 3週齡의 경우 本試驗의 結果와 비슷하지만 4, 5, 6週齡엔 각각 116 μm, 149 μm 및 171 μm로 4週齡의 管徑이 本試驗의 6週齡時 크기와 類似하다. 管徑의 擴張이 이같이 遲滯된 것은

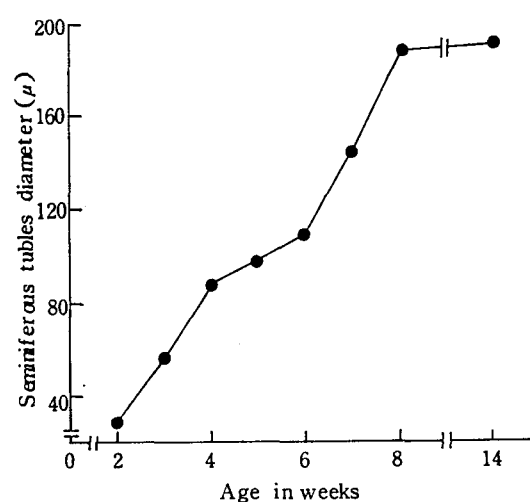


Fig. 1-2. The average diameters of Japanese quail seminiferous tubules at each weeks of age

前項에서 지적한 바와 같이環境溫度의 영향인것 같다. 14週齡時의 管徑은 $192\mu\text{m}$ 로 8週齡과 差異가 없다. 即遲滯된 細精管의 成長은 8週齡에 完全補償되었을 뿐 아니라 管의 成長自體가 8週齡에 完成됨을 확인할 수 있다.

成熟된 雜交리의 細精管管徑을 닦의 것과 比較할 때 거의 對等한 것으로 보인다. Parker (1941)가 成熟한 白色 Leghorn 種과 New Hampshire 種 닦에서 調査한 細精管의 管徑은 각각 $232.5\mu\text{m}$ 과 $253.9\mu\text{m}$ 로 되어있고, Kumaran과 Turner (1949)가 Plymouth

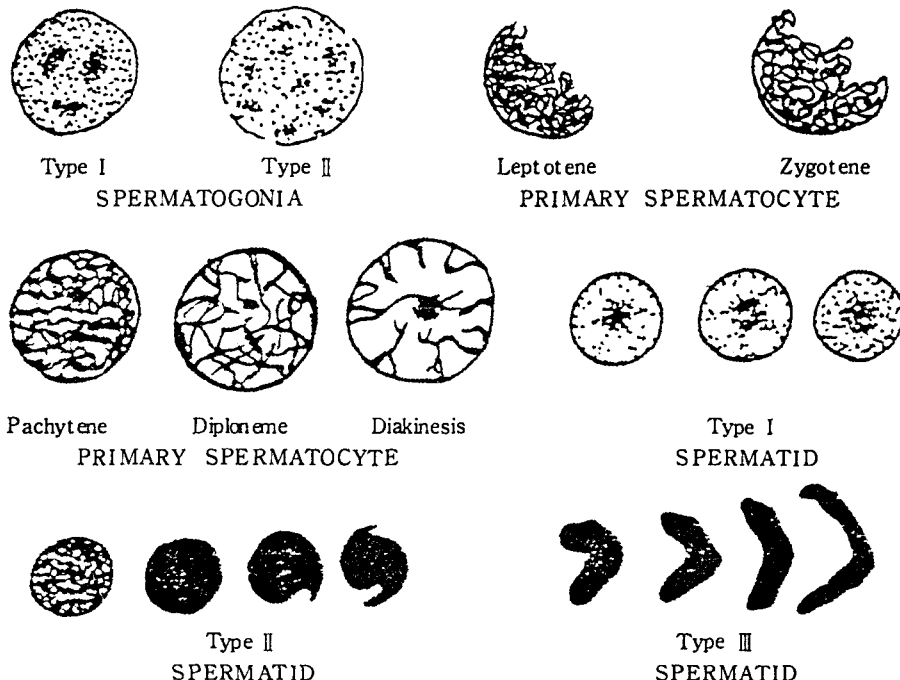


Fig. 2. Classification of the germ cells

Rock 種에서 調査한 것은 $236.0\mu\text{m}$ 로 되어있어 體軀의 크기를 감안하면 雜交리의 細精管徑이 오려히 큰 편임을 알 수 있다.

관찰된 細精管의 橫斷面은 圓形의 것보다 不定多角形의 것이 많았다(그림 3). 이같은 현상은 닦에서도 관찰되는데(Lake : 1957) 圆形인 것이 大部分인 哺乳動物과 相異한 점이다. 細精管周圍의 間質組織속에 脂管과 神經이 介在해 있고 繊維細胞와 Leydig 細胞가 몇개씩 集團으로 출현되어 있었다.

3. 細精管內 各種細胞의 觀察

1) 成長期의 細精管上皮

(1) 2週齡時; 細精管의 基底膜에 接하여 精祖細胞와 셀토리細胞가 混在해 單層으로 配列되어 있다(그림 4). 精祖細胞는 球形의 核을 가진 $5\mu\text{m}$ 程度의 크기였고 核의 中央에 核小體가 있었다. 셀토리細胞는 $4\mu\text{m}$ 程度의 크기이며 不定三角形의 것이 많고 核의 中央에 하나의 核小體를 가졌다.

管의 內腔側에는 $8\sim12\mu\text{m}$ 크기의 胚芽細胞(gonocyte)가 몇개 보였으며 이들의 核은 $5\sim6\mu\text{m}$ 의 크기인데 2~3個의 核小體를 가졌고 細胞質은 明照하였다.

(2) 3週齡時; 2週齡의 細精管에 比하여 一部의 管에서는 細胞層이 增加해 2~5層으로 形成되어

졌다(그림 5). 精祖細胞는 두가지 型(그림 2)으로 나타나기 시작하였는데 I型은 球形 혹은 楕圓形의 核 속에 1~3個의 核小體를 가졌으며, 5~6 μm 程度의 크기였고, II型의 精祖細胞는 7 μm 程度의 크기인데 核은 球形이고 核內의 染色質이 點狀으로 散在된 모양을 나타냈다. 이같은 二種의 精祖細胞는 在來山羊에서도 자식된 바 있다(李, 1985).

(3) 4, 5週齡時; 3週齡時와 비슷한 細胞配列과 細胞種類들이 관찰되었으나 相異한 점은 管內 細胞數가 현저히 增加되어 있고 胚芽細胞들은 보이지 않는 것들이다(그림 6).

(4) 6週齡時; 精母細胞가 精祖細胞의 바깥 即管의 內腔側에 나타나기 시작하였고, 이의 크기는 6~7 μm 程度인데 球形의 核을 갖고 있다. 一部의 큰 細精管에서는 4~5 μm 크기의 球形核을 가진 精子細胞(Spermatid)가 管의 中心部位에서 처음으로 觀察되었다(그림 7).

(5) 7週齡時; 6週齡에서 보여준 細胞들의 種類以外에 一部 큰 管에서 精子가 出現하기 시작하였다(그림 8).

(6) 8週齡時; 精子生産이 왕성하였으며 精細胞系의 모든 細胞種類가 관찰되었고, 性成熟期에 나타나는 精子發生週期의 各型이 관찰되었다.

일본에 주리의 精巢發達에 관한 Mather 와 Wilson (1964)의 報告를 보면 細精管內에서 精子細胞는 4週齡에, 精子는 5週齡에 觀察되고 있으며 精巢重量과의 關係에선 0.5g以上 일때 精子細胞가 發見되고 1.0g以上이 되어야 完全한 精子들이 出現되고 있다. 이같은 精巢重量과 精子細胞 및 精子의 出現間의 關係는 本試驗結果에서도 잘 입증되고 있다. 前述했던 바와 같이 本調查에서 精子細胞와 精子가 最初로 發見된 週齡은 6週와 7週齡이었고 이때의 精巢重量은 각각 0.46과 1.21g이었다. 本試驗에서 精子細胞 및 精子의 出現週齡이 2週쯤 늦어진 것은 높은 飼育溫度時 理由 때문에 精巢의 成長·發達自體가 遲滯된 결과로 본다.

2) 性成熟期의 細精管內 各種細胞

(1) 셀토리細胞; 셀토리細胞는 細精管의 基底膜 가까이 位置하고 있으며 內腔쪽으로 길게 뻗은 圓柱狀으로 核은 細胞의 基底部에 있고 細胞質 속에는 精子細胞들이 둘려있기도 한다. 셀토리細胞의 核은 밝게 염색되기 때문에 다른 細胞들과 쉽게 區分되어 그 形態는 Clermont (1963) 및 Swierstra (1968)가 지적한 哺乳類의 것과 類似하였다. 即 核의 形態는 楕圓形, 三角形 또는 不定形을 나타내 일정치 않지만 核膜은 진하게 染色되고 核全體는 밝게 염색되어

Table 2. Numbers of Serotoli cell, Spermatogonia and Spermatocyte within the seminiferous epithelium cross section of Japanese quail at 14 weeks of age

Male No.	Serotoli cells	Spermatogonia*	Primary Spermatocyte* before metaphase
1	1	7.6	40.60
2	2	7.7	40.25
3	3	9.7	40.00
4	4	7.7	40.81
5	5	10.0	42.95
6	6	7.4	38.80
7	7	6.7	35.65
8	8	6.5	42.85
9	9	6.1	41.45
10	10	7.5	44.70
M \pm SE		7.74 \pm 1.30	40.81 \pm 2.65
			28.42 \pm 3.92

*: Nuclei counts were corrected according to the difference in the nuclear diameter by Abercrombie's formula.

있다. 核의 直徑은 平均 $6 \sim 7\mu\text{m}$ 이고, 보통 한개의 核小體를 가지고 있으며 微細한 顆粒이 핵주위에 퍼져 있다.

한개의 細精管 橫斷面上에 나타난 세토리細胞의 數는 平均 7.74 個이고(表 2) 적은 個體와 많은 個體의 사이에는 3~4 개의 차를 보여 統計的인 有意性이 인정되었다($P < 0.05$). 이같은 개체간 차이가 細精管徑의 크기에서 온 것인지를 確認코자 각個體에서 測定된 平均 細精管徑과 세토리細胞數間의 相關關係를 調查하여 보니 相關度($r = 0.05$)는 有意性이 인정되지 않았다. 即 세토리細胞의 數는 細精管의 크기와 無關함을 알았다.

(2) 精祖細胞；前項에서 言及했던 바와 같이 두가지 型으로 관찰되었다(그림 2, 3, 13). I型은 核의 直徑이 약 $5 \sim 6\mu\text{m}$ 인 圓形 또는 楕圓形이고 核全體가 어둡게 染色되어 1~3 個의 큰 染色質顆粒과 微細한 染色顆粒들이 核내에 散在해 있는데 核膜에 染色質 띠어리가 부착된 곳도 있었다. 이에 反해 II型의 核은 直徑이 조금 커서 $7\mu\text{m}$ 内外이고 染色이 약간 밝게 着色되기 때문에 I型과 쉽게 区別되었다. 이같은 精祖細胞核의 構造와 染色性은 Roosen-Runge(1950)가 흰쥐에서 지적한 것과 극히 類似하다.

各個體에서 細精管의 橫斷面上에 나타난 精祖細胞의 數는 表 2에서 본바와 같이 平均 40.81이지만 個體에 따라 差異가 커서 $35.65 \sim 44.70\mu\text{m}$ 의 범위를 나타냈다. 이같은 個體間 差異가 細精管 管徑의 差異에서 온것인지를 確認하기 위하여 細精管 橫斷面上의 精祖細胞數와 管徑間의 相關度를 調査한 결과 相關係數($r = 0.06$)는 치극히 작았고, 精祖細胞의 數와 세토리細胞의 數間에도 相關關係는 거의 없었다($r = 0.13$). 一般的으로 細精管內 精祖細胞의 數는 鳥類에서 哺乳動物보다 현저히 많다(Swierstra와 Foote; 1963).

(3) 精母細胞；第一精母細胞들은 減數分裂의 段階에 따라서 核이 여러가지 形態로 觀察되었다(그림 2, 6 ~ 13). 細絲期의 精母細胞는 精祖細胞의 바로 옆 内腔쪽에 있는데 核의 크기는 $5\mu\text{m}$ 程度이고 核의 절반정도가 진한 染色性을 나타내며 그 속에 染色絲가 얹혀 있었다. 核의 모양은 비슷하나 染色絲들이 더 굵고 核自體의 크기도 약간 커져서 痕跡이 $5.5\mu\text{m}$ 程度되는 細胞들이 바로 옆 内腔쪽에 있어 接合期의 精母細胞로 区分되어 졌고, 그의 内腔쪽에선

太絲期의 精母細胞들이 뚜렷이 識別되어 졌다. 太絲期의 核은 더욱 커져서 直徑이 $7\mu\text{m}$ 程度나 되었으며 진하게 染色된 染色체들은 펼쳐 放고 짧아져 있는데 染色分體들은 明確히 区分되지 않았다. 太絲期의 精母細胞 주위에서 二重期와 移動期의 精母細胞들이 관찰되는데 二重期의 核은 染色體의 Chiasma현상으로 異별할 수 있고 移動期의 核은 染色體들이 극히 짧아져서 核의 주변으로 모이는 特徵을 볼 수 있었다.

中期以後의 精母細胞들은 減數分裂 第二分裂中에 있는 第二精母細胞들과 명확히 区分되지 않았다. 그래서 細精管의 橫斷面上에 나타난 精母細胞의 數는 第一分裂 中期以前의 것만 計測한 것이다(表 2). 計測된 精母細胞의 數는 個體間 差가 있었고($P < 0.05$) 精祖細胞의 數가 많은 個體에서 더 많아 兩者 細胞數間에 높은 相關度($r = 0.62$)를 보였다.

(4) 精子細胞와 精子；精子細胞들은 精母細胞들 보다 内腔쪽에서 觀察되는데 腔內로 출지어 配列하고 있고, 核의 形상으로 보아 세가지 형으로 分류되었다. I型은 核이 둥글고 核膜이 뚜렷하여 크기가 $4\mu\text{m}$ 程度인데 1~2 個의 染色質顆粒이 核의 中心部에 있었고 이 颗粒에서 몇개의 微細한 染色絲가 核膜으로 뻗어 마치 수레바퀴 모양으로 보였다. II型의 精子細胞는 다시 두 種類로 区分되는데 첫 번째의 것은 核全體가 둥글고 진하게 染色되어 마치 바둑알을 연상케 하였으며, 다른 하나는 콤마形으로 前者보다 더 진하게 染色되는 特징을 갖고 있다. II型의 核 크기는 $3.5\mu\text{m}$ 内外로 I型에 비해 약간 작다. III型의 精子細胞는 核내에서 겹게 染色된 染色質이 긴게 구부러져 I, C, V의 모양을 나타내 II型의 것과 区別되어 졌다(그림 2, 7 ~ 13).

精子는 약간 弯曲된 긴 頭部와 매우 畏美하여 觀察하기 어려운 尾部를 갖고 있었다. 頭端은 뾰족하고 길며, 側面은 棍狀으로 평평한 形상이었고 頭部의 길이는 약 $15 \sim 25\mu\text{m}$ 범위였다. 精子는 세토리細胞의 細胞質속에 보통 10여개씩 集中되어 있어 特徵의 이었다.

.細精管 橫斷面上에 나타난 各型의 精子細胞와 精子의 數를 보면 다음 表 3과 같다. 一部 個體間에 差異가 있지만($P < 0.05$) 全體 平均值들은 精子細胞에서 I型이 61.55, II型이 14.04, III型이 28.96으로 計 104.55였고, 完成精子數는 165.98로 되어있어 各型間에 數의 差가 크다. 이같은 差異는 곧 各型의 變

Table 3. Number of Spermatid and Spermatozoa on Seminiferous tubles cross section of Japanese quail at 14 weeks of age

Male No.	Spermatid			Spermatozoa
	Type I *	Type II *	Type III *	
1	53.9	13.67	30.26	97.83
2	67.5	10.67	31.68	109.89
3	78.1	15.70	24.76	118.56
4	61.5	14.04	28.96	104.55
5	55.9	14.16	23.50	93.62
6	43.5	15.87	30.40	89.82
7	51.0	15.53	24.13	90.66
8	68.5	19.30	31.70	119.50
9	64.3	11.20	30.85	106.40
10	71.1	10.21	33.35	114.66
M ± SE	61.55 ± 11.08	14.04 ± 2.96	28.96 ± 3.75	104.55 ± 11.88
				165.98 ± 8.68

* : Nuclei count were corrected according to the difference in nuclear diameter by Abercrombie's formula.

態에 所要된 경과시간의 差異를 意味하며 따라서 I型의 경과시간이 가장 길고, II型의 變態時間이 가장 짧음을 알 수 있다. 그리고 精子細胞에 비해 精子數가 많은 것으로 보아 精子細胞의 變態經過時間보다 完成된 精子의 管內 滞在時間이 더 긴것으로 판단된다. 表3에서 精子細胞의 III型과 精子數는 Abercrombie's 公式에 의한 補正值가 아니고 實數値인데 이는 核의 直徑을 정확히 측정할수 없어 교정이 불가했다.

3) 細精管內 上皮週期

精子細胞의 變態過程은 PAS染色反應을 이용해 흔히 觀察·研究한다. 이 方法에 의해 Leblond와 Clermont(1952)는 쥐의 精子細胞 變態過程을 14期로 区分한바 있고 Bernatson과 Claude(1974)는 소에서 12期, Clermont(1963)는 사람에서 6期로 区分·報告하고 있다. 그러나 本試驗에서 確認한 埃추리의 경우는 精子細胞의 PAS染色反應이 微弱해 變態過程을 명확히 識別하기가 어려웠다. 그래서 PAS染色法은 더 究明해야 할 과제로 두고 前項에서 言及했던 核의 形象 即 核內 染色質의 形態變化에 의한 分類法으로 精子細胞를 4種으로 分類한바 細精管內 上皮週期는 5期로 区分되었고 各期의 特徵들을 보면 다음과 같다.

第一期 ; I型과 II型의 精子細胞가 同時に 出現된時期이다. 即 細精管은 基底膜에 精祖細胞와 셀토리細胞가 被覆되고 이들의 안쪽에 減數分裂의 各段階에 있는 第一精母細胞들이 分裂順序대로 配列되어 있는데 이들에 연이어 管의 中心를 向해 I型과 II型의 精子細胞가 출지어 있지만 精子는 出現되지 않고 있다(그림 9).

第二期 ; 核들이 細長되어 져서 II型의 精子細胞가 III型의 精子細胞로 된時期이다. 그래서 細精管의 内腔에는 소수의 I型과 多數의 III型 精子細胞만 보인다(그림 10).

第三期 ; III型의 精子細胞들이 더욱 細長된 未成熟精子形態로 되고, 이들이 서서히 基底膜쪽으로 移動해 셀토리細胞의 細胞質 속으로 모여드는時期이다. 셀토리細胞와 精祖細胞는 여전히 基底膜에 接近하여 位置하고 第一精母細胞는 주로 太絲期以後의 것이 出現한다. 소수의 I型 精子細胞도 存在한다(그림 11).

第四期 ; 15 ~ 20個의 精子가 하나로 結束되어 頭部들을 細長된 셀토리細胞의 細胞質 내에 埋沒시키고 있고, 그 주위에 I型의 精子細胞가 출지어 配列된時期이다. 精祖細胞와 셀토리細胞들은 基底膜에 接近하여 있고 減數分裂 前期의 精母細胞들이 보이며 結束된 成熟精子들은 마치 물결치듯이 보인다(그

Table 4. Frequency of each stage from I to V within cross section of seminiferous tubules in the Japanese quail at 14 weeks of age

Stage	Frequency
I	11. 97 ± 0.42
II	23. 05 ± 0.78
III	27. 96 ± 0.47
IV	19. 04 ± 0.49
V	17. 98 ± 0.53

림 12).

第五期；結束된 精子群이 점차 内腔쪽으로 이동하기 시작하여 腔側緣에서 사라질때 까지이다. 精祖細胞와 셀토리細胞가 基底膜을 被覆하고 있으며 第一精母細胞들이 그 内側에 位置하는 양상은 第四期와 같고 I型의 精子細胞는 最內側에 있다(그림 13).

以上과 같이 區分된 上反週期의 各期는 하나의 細精管 橫斷面上에서 보통 2~3個의 期가 同時に 觀察되었다. 이같은 現象은 動物에 따라서 相異한데 山羊의 경우 하나의 橫斷面上에 하나의 期만이 出現되지만(李, 1985) 사람의 경우는 3~4期가 同時に 出現하고 있다(Clermont : 1963). 各 個體에서 計測·平均한 細精管 上反週期內 各期의 出現頻度를 보면(表4) I期에서 11.97%로 가장 낮고 III期까지 27.96%로 增加를 하다가 IV, V期에서 다시 감소되는 경향을 나타내고 있다.

IV. 摘要

本研究는 日本雌雉의 成長過程中 細精管內 細胞組成의 變化樣相과 成熟時(14週齡時)細精管의 上皮週期 및 週期內 各期의 出現頻度를 觀察·究明코자 한 것이다. 育成中인 雉에서 2週부터 8週까지 每週齡과 14週齡에 각각 10首씩 無作為 抽出해 諸般事項을 調査하였으며 얻어진 結果를 要約하면 다음과 같다.

1. 體重은 4週부터 5週齡사이, 精巢重量과 細精管의 管徑은 6週부터 8週齡사이에 急成長하였다.

2. 胚芽細胞는 2~3週齡에 觀察되었고 4週齡以後에는 出現되지 않았다. 精祖細胞는 I型과 II型 모두가 3週齡부터 出現되었고 精母細胞는 4週齡,

精子細胞는 6週齡以後에 出現되었다. 精子는 7週齡에 처음으로 觀察되었으나 完成된 精子의 射出은 8週齡부터였다.

3. 成熟時(14週齡時)의 精巢重量은 平均 3.7g 이였고 體重에 대한 精巢重量比率은 約3%였다.

4. 成熟時 細精管의 管徑은 平均 192.08μm였고 細精管 橫斷面上에 나타난 셀토리細胞, 精祖細胞, 第一精母細胞, 精子細胞 및 精子의 平均數는 각각 7.74, 40.81, 28.42, 104.55 및 169.98이였다. 精祖細胞는 두가지 型으로, 精子細胞는 세가지 型으로 각각 크게 分類되었다.

5. 成熟時의 細精管 上皮週期는 5期로 區分할 수 있었고 各期의 特徵은 다음과 같았다.

第一期：精子細胞 I型과 II型이 出現된 時期

第二期：III型의 精子細胞 出現時期

第三期：III型의 精子細胞가 未成熟 精子로 되어 基底膜쪽으로 移動해 셀토리細胞의 細胞質에 모여드는 時期

第四期：셀토리細胞의 細胞質內에 15~20個의 精子가 하나의 結束을 이룸.

第五期：結束된 精子群이 内腔쪽으로 移動하여 사라질때 까지임.

6. 細精管의 橫斷面上에는 上反週期內 2~3個의 期가 同時に 觀察되었으며 各期의 出現頻度는 一期에서 五期까지 각각 11.97%, 23.05%, 27.96%, 19.04% 및 17.98%였다.

以上과 같은 結果들로 보아 일본雌雉의 雌性成熟은 8週齡부터 이미 細精管의 上皮週期는 哺乳動物들과는 달리 五期로 區分되는 特徵을 갖는다고 할 수 있다.

V. 引用文獻

1. Abercrombie, M., 1946. Estimation of nuclear population from microtome sections. Anat. Rec., 94: 238-248.
2. Amann, R. P., 1962. Reproductive capacity of dairy bulls IV. Spermatogenesis and testicular germ cell degeneration. Am. J. Anat., 110: 69-78.
3. Berndston, W. E. and D. Claude, 1974. The cycle of the seminiferous epithelium and spermatogenesis in the bovine testis. Am. J. Anat., 140:

- 167-180.
4. Clermont, Y., 1963. The cycle of the seminiferous epithelium in man. Am. J. Anat., 112: 35-51.
 5. Hafetz, E. S. E., 1980. Reproduction in farm animals. 4th Ed. Lea and Febiger, Philadelphia, U. S. A. pp. 167-179.
 6. Jones, P. and H. Jackson, 1973. Estimation of duration of spermatogenesis in Japanese quail using antispermatozoal chemicals. J. Reprod. Fert., 31: 319.
 7. Kumaran, J. D. S. and C. W. Turner, 1949. The normal development of the testis in the White Plymouth Rock. Poult. Sci., 28: 511-520.
 8. Lake, P. E., 1957. The male reproductive tract of the fowl. Am. J. Anat., 91: 116-129.
 9. Leblond, C. P. and Y. Clermont, 1952. Definition of the stages of the cycle of the seminiferous epithelium in the rat. Ann. NY Acad. Sci., 55: 548-573.
 10. Mather, F. B. and W. O. Wilson, 1964. Post-natal testicular development in Japanese quail. Poult. Sci. 43: 860-864.
 11. Newcomer, E. H. and J. W. A. Brant, 1954. Spermatogenesis in the domestic fowl. J. Hered., 45: 79-87.
 12. Ortavant, R., 1959. Déroulement et duree du cycle spermatogénétique chez le belier. Ann. Zootech. 8: 183-271.
 13. Parker, J. E., F. F. Mckenzie and H. L. Kempster, 1941. Development of the testis and combs of White Leghorn and New Hampshire cockerels. Poult. Sci. 21: 35-44.
 14. Purcell, S. M. and W. O. Wilson, 1975. Growth and maturation of testis in young coturnix and modification by exogenous FSH, LH and testosterone - a steroidologic evalution. Poult. Sci. 54: 1115-1122.
 15. Roosen-Runge, E. C., 1950. Quantitative studies on spermatogenesis in the albino rat. Am. J. Anat., 87: 1-30.
 16. Sturkie, P. D., 1976. Avian physiology. 3rd. ed. Springer-Verlag, New York, U. S. A. pp. 332-334.
 17. Swierstra, E. E., 1968. Cytology and duration of the seminiferous epithelium of the boar; duration of spermatozan transit through the epididymis. Anat. Rec., 161: 171-186.
 18. Swierstra, E. E. and R. H. Foote, 1963. Cytology and kinetics of spermatogenesis in the rabbit. J. Reprod. Fertil. 5: 309-322.
 19. Takeda, A., 1969. Labelling of cock spermatozoa with radioactive phosphorus. Jap. J. Zootech. Sci. 40: 412.
 20. Williams, C. S. F., 1976. Practical guide to laboratory animals. Mosby Co. Saint Louise, U. S. A. pp. 191-197.
 21. Wilson, W. O., U. K. Abbott and H. Abplonalp, 1959. Developmental and physiological studies with a new pilot animal for poultry coturnix quail. Poult. Sci. 38: 1260-1261.
 22. 李載洪. 1982. 오리副睾丸 및 精巢의 組織學的 및 吸收機能에 관한 研究. 全南大 새마을研究 5 : 16 ~ 23.
 23. 李載洪, 李芳煥, 李成鎬. 1985. 韓口在來山羊의 精子發生에 관한 研究. 大韓獸醫學會誌 25 : 91 ~ 102.
 24. 韓邦根. 1984. 肉鷄의 雄性生殖器 發育 및 精子形成過程. 大韓獸醫學會誌 20 : 49 ~ 61.

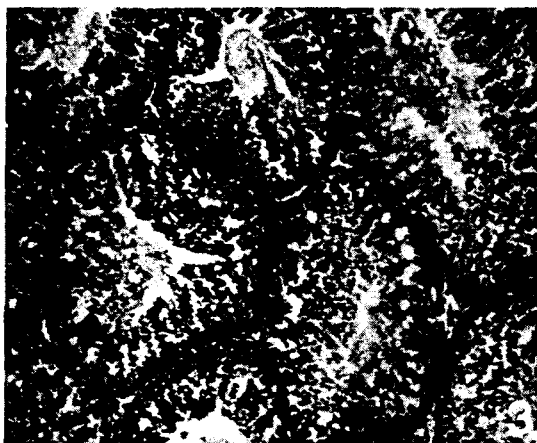
Legends for Figures

Abbreviations in Figures

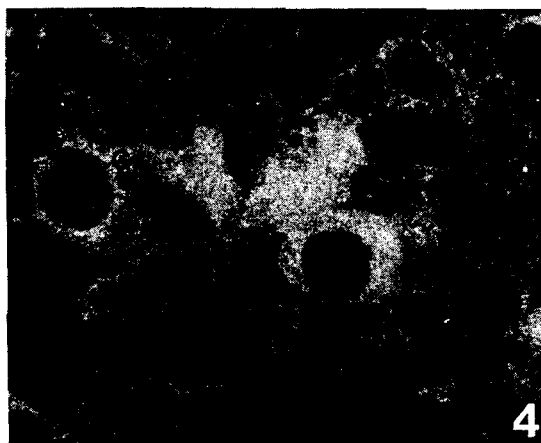
BM	: Basement membrane	G	: Gonocyte
S	: Sertoli cell	SdI	: Type I spermatid
SpI	: Type I spermatogonia	SdII	: Type II spermatid
SpII	: Type II spermatogonia	SdIII	: Type III spermatid
LZ	: Letotene and zygotene phase	SZ	: Spermatozoa
P	: Pachytene phase		

Explanations of Figures

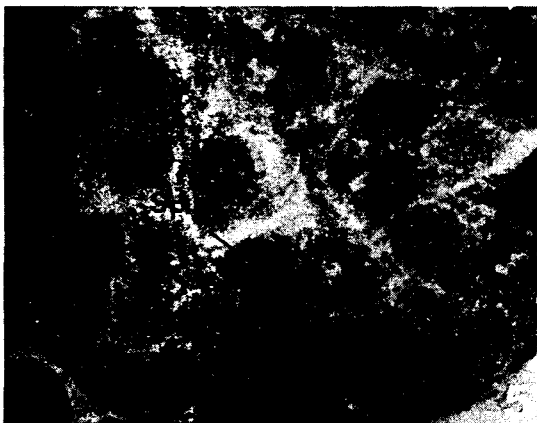
- Fig. 3. 14 weeks. Section of the seminiferous tubules. H & E. x200.
- Fig. 4. 2 weeks. Spermatogonia and Sertoli cells are seen along the basement membrane. Gonocytes present near the simple epithelium. H & E. x1000.
- Fig. 5. 3 weeks. Type I, II spermatogonia and Sertoli cells are seen along the basement membrane. Gonocytes are located more centrally. H & E. x1000.
- Fig. 6. 4 weeks. Leptotene primary spermatocytes are located more centrally. Heidenhein's iron hematoxylin. x1000.
- Fig. 7. 6 weeks. Spermatids are located more centrally. Heidenhein's iron hematoxylin. x1000.
- Fig. 8. 7 weeks. Tubule containing many spermatids and spermatozoa in its central part. PAS - hematoxylin. x1000.
- Fig. 9. Stage I. Type I, II spermatogonia and Sertoli cells are seen along the basement membrane. Type II spermatids are located more centrally than pachytene and leptotene, zygotene primary spermatocytes. PAS - hematoxylin. x700.
- Fig. 10. Stage II. Similar to stage I, but type III spermatids have elongated. PAS - hematoxylin. x700.
- Fig. 11. Stage III. Immature spermatozoa deeply penetrate toward the basement membrane. PAS - hematoxylin. x700.
- Fig. 12. Stage IV. spermatozoa bundles are embedded into the sertoli cells. PAS - hematoxylin. x700.
- Fig. 13. Stage V. spermatozoa line the tubule lumen just prior to release. PAS - hematoxylin. x700.



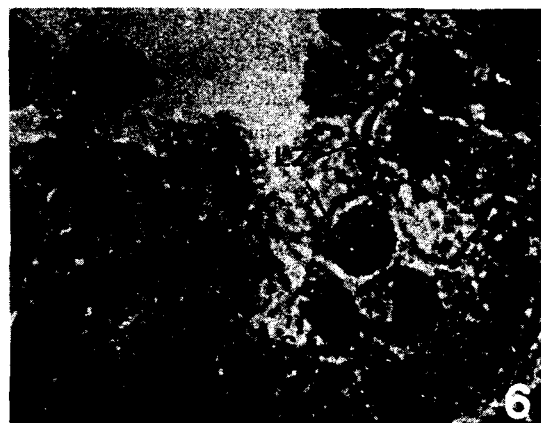
3



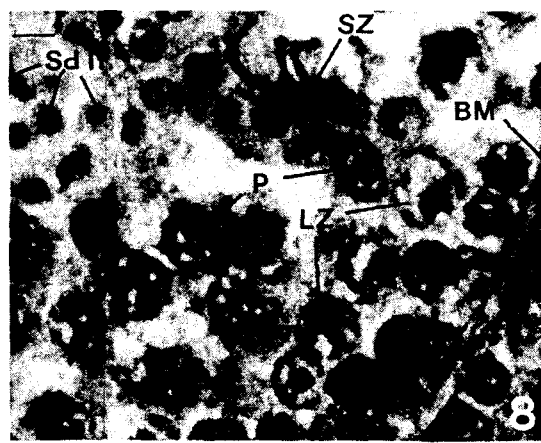
4



6



7



8

